



UNIVERSIDADE DO MINHO

COMPUTAÇÃO GRÁFICA

2018/2019

Phase 2 – Geometric Transforms

Trabalho realizado por:

Nelson Gonçalves

João Aloísio

César Henriques

Ricardo Ponte

Número de Aluno:

A78713

A77953

A64321

A79097

25 de Março de 2019

Conteúdo

1	Introdução	2
2	Descrição do Problema	3
3	Resolução do Problema	4
3.1	Gerador	4
3.1.1	Ring	4
3.2	Motor	6
3.2.1	Leitura do ficheiro XML	6
3.2.2	Desenho das Primitivas	6
3.2.3	Câmara	7
3.2.4	Teclado	9
3.2.5	Rato	9
3.3	Modelo do Sistema Solar	10
4	Conclusões	14

1 Introdução

A vertente prática da unidade curricular de Computação Gráfica tem como base a utilização do OpenGL, recorrendo à biblioteca GLUT, para a construção de modelos 3D.

A produção dos modelos referidos envolve diversos temas, entre os quais, transformações geométricas, curvas e superfícies, iluminação e texturas. Com o objetivo de aplicar e demonstrar a aprendizagem destes tópicos, foi proposta a realização de um projeto prático, que se encontra dividido em quatro fases, cada uma com uma data específica de entrega.

A existência destas quatro fases tem como finalidade a organização e simplificação do desenvolvimento do projeto, sendo que cada uma deverá respeitar os requisitos básicos, inicialmente estipulados no enunciado do trabalho.

Este relatório diz respeito à realização da segunda fase do projeto mencionado, que tem como assunto principal as Transformações Geométricas. Para uma melhor compreensão do objetivo desta fase, na secção seguinte será devidamente descrito o problema a resolver.

2 Descrição do Problema

A segunda fase deste projecto tem como objectivo o desenvolvimento de novas funcionalidades aplicadas ao Motor desenvolvido na primeira fase. Este deve agora processar Transformações Geométricas tais como translações, escalas e rotações, descritas no ficheiro de configuração escrito em XML. Nesta fase pretende-se representar um modelo estático do Sistema Solar (sol, planetas e satélites). Assim, os requisitos para esta segunda fase do projeto, são:

- Gerador (recebe como parâmetros o tipo da primitiva gráfica, parâmetros relativos ao modelo e o nome do ficheiro onde vão ser guardados os vértices):
 - **ring file.3d** *radius outter-radius slices*
Anel: coroa circular no plano xz , centrado na origem, desenhado tanto no sentido positivo, como no sentido negativo do eixo y .
- Motor :
 - lê os grupos do ficheiro XML.
 - **armazena as transformações e os modelos** de cada grupo em memória.
 - **desenha**, utilizando triângulos, as primitivas relativas aos modelos existentes em cada grupo, com as respectivas transformações associadas.
- Modelo do Sistema Solar :
 - utiliza a **esfera e o anel** como primitivas, para representar o sol, os planetas e os satélites.
 - serve-se de uma **escala** calculada previamente.

3 Resolução do Problema

Nesta fase serão realizadas alterações, tanto ao Motor como ao Gerador desenvolvidos anteriormente, com o objectivo de cumprir com os requisitos propostos para a segunda fase.

3.1 Gerador

De forma a demonstrar devidamente o modelo do sistema solar, necessitou-se de atualizar o Gerador desenvolvido na fase anterior. Posto isto, decidiu-se criar uma primitiva que calcula os pontos necessários para desenhar uma coroa circular, que será utilizada para representar os anéis de Saturno.

3.1.1 Ring

De modo a representar o planeta Saturno, foi necessário criar um anel que envolva a sua forma esférica. Este anel é composto por triângulos que são desenhados nos sentidos positivo e negativo do eixo y , e é centrado na origem sobre os eixos x e z .

Este anel tem um raio interior, *radius*, um raio exterior, *outter_radius*, e um número de *slices* pelo qual vai ser dividido.

- $\alpha = \frac{2\pi}{slices} \times j, j = [0, slices]$

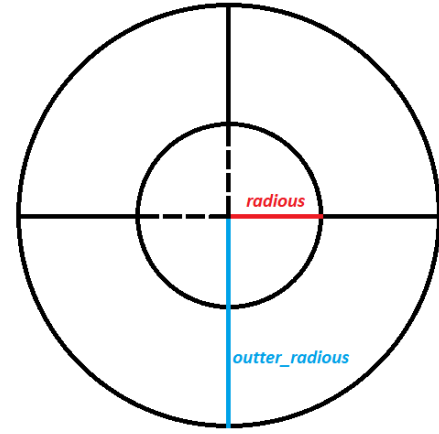


Figura 1: Representação simples da divisão do anel em slices (exemplo com 4 slices)

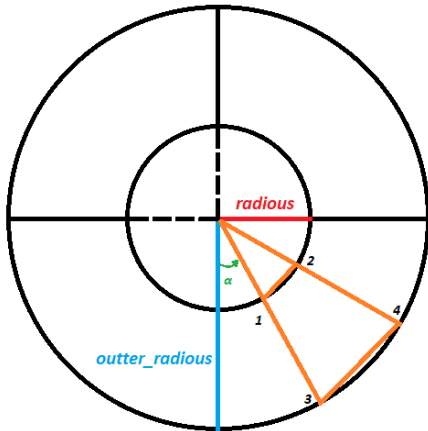


Figura 2: Representação simples da divisão do anel em slices (exemplo com 4 slices)

É possível calcular as coordenadas um ponto recorrendo à distância deste à origem (*radius* - raio interior e *outter_radius* - raio total) e ao ângulo α . Isto permitirá calcular todos os pontos x e z à volta do anel tendo em conta que a coordenada y tem o valor 0. E de notar ainda que o ângulo α vai aumentar $\frac{2\pi}{slices}$ por cada divisão, até à divisão *slices*. As fórmulas para o cálculo de x e z são as seguintes:

- $x = distance \times \sin(\alpha)$
- $z = distance \times \cos(\alpha)$

A *distance* vai depender do ponto que se pretende calcular. Os pontos 1, 2 serão calculados com base no *radius* enquanto que os pontos 3 e 4 serão calculados usando o *outter_radius*. Tendo isto em conta os valores das coordenadas x e z são calculados através das seguintes equações:

- $x1 = radius \times \sin(\alpha1)$
- $z1 = radius \times \cos(\alpha1)$
- $x2 = radius \times \sin(\alpha2)$
- $z2 = radius \times \cos(\alpha2)$
- $x3 = outter_radius \times \sin(\alpha1)$
- $z3 = outter_radius \times \cos(\alpha1)$
- $x4 = outter_radius \times \sin(\alpha2)$
- $z4 = outter_radius \times \cos(\alpha2)$

Sendo que os valores de α são calculados com as equações:

- $\alpha1 = j \times \frac{2\pi}{slices}$
- $\alpha2 = (j+1) \times \frac{2\pi}{slices}$

Usando a regra leccionada nas aulas de Computação Gráfica, a "regra da Mão Direita", podemos desenhar o anel, tanto no sentido positivo, como no sentido negativo do eixo y . Para o sentido positivo, conseguiu-se desenhar os triângulos formados (pelos pontos representados na figura 2) usando as ordens 1,2,4 e 2,3 4. respectivamente. Para obter o anel orientado no sentido negativo, desenhámos os triângulos formados pelos pontos 2,1,4 e 4,3,2.

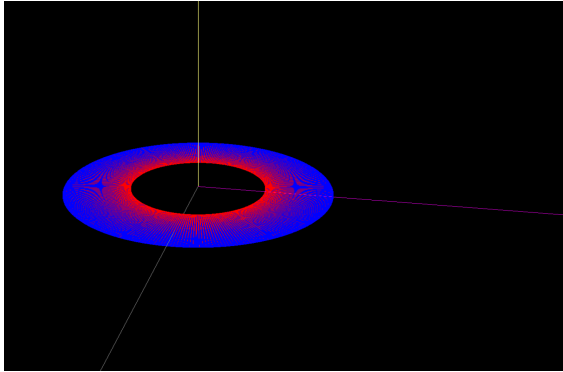


Figura 3: Representação do anel (visto de cima) utilizando o engine

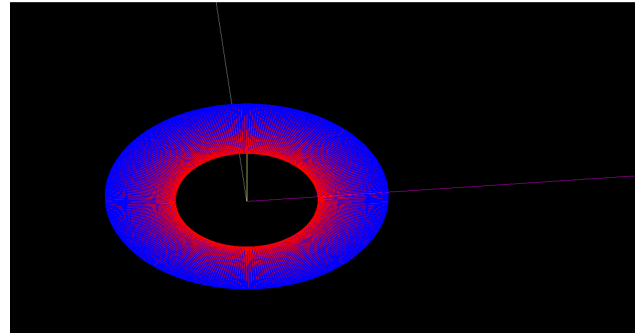


Figura 4: Representação do anel (visto de baixo) utilizando o engine

3.2 Motor

Visto que nesta fase o ficheiro XML possui uma constituição diferente da fase anterior, foi necessário adaptar o método de parsing ao ficheiro. Para além disto, foi necessário armazenar mais informações para além dos vértices e dos modelos, o que desencadeou a criação de novas estruturas, tais como *groupData* que permite o armazenamento dos valores atribuídos às coordenadas nas transformações,

```
typedef struct groupData{
    float traX, traY, traZ;
    float angle, rotX, rotY, rotZ;
    float scaleX, scaleY, scaleZ;
}Group;
```

pathInfo que guarda o *path* para o ficheiro *3d* do *model* associando assim as alterações que irão ser feitas ao modelo em questão,

```
typedef struct pathInfo{
    Path path;
    float traX=0, traY=0, traZ=0;
    float angle=0, rotX=0, rotY=0, rotZ=0;
    float scaleX=1, scaleY=1, scaleZ=1;
} Paths;
```

e *modelData* que armazena os dados necessários para desenhar o respectivo modelo com as transformações existentes no XML,

```
typedef struct modelData{
    Model model;
    float traX=0, traY=0, traZ=0;
    float angle=0, rotX=0, rotY=0, rotZ=0;
    float scaleX=1, scaleY=1, scaleZ=1;
}ModelData;
```

3.2.1 Leitura do ficheiro XML

A biblioteca usada para ler os ficheiros XML continua a ser a *TinyXML-2*. Sendo assim, foi novamente usada a função implementada na fase anterior *readXML* com as alterações necessárias.

Nesta fase é necessário retirar a informação contida no *group* existente no ficheiro XML, e para isso foi implementada uma função auxiliar *groupAux* que armazena todos os dados contidos na estrutura *groupData* criada para o efeito. Esta função, caso encontre o campo *models*, chama uma outra função auxiliar *readModels* que guarda os dados na estrutura *pathInfo*. Caso encontre o campo *group* novamente ao ler o ficheiro XML, vai ser chamada a *groupAux* recursivamente.

3.2.2 Desenho das Primitivas

Para o desenho das primitivas, foi previamente usada a função *loadXML* explicada na fase anterior com pequenas alterações, sendo que armazena os dados na estrutura *modelData*. Após a inserção de todos os modelos contidos no ficheiro XML, é percorrido o vetor *modelz* pela função *drawTheFiles* que faz *push* e as devidas alterações com o auxílio das funções *glPushMatrix*, *glTranslatef*, *glRotatef* e *glScalef*. Tendo

concluído o desenho através dos vértices que constituem o triângulo com o auxílio da função *glVertex3f*, é usada a função *glPopMatrix* para retirar a matriz antiga sem transformações.

3.2.3 Câmara

Foi implementada uma câmara FPS que movimenta-se segundo ângulos proporcionais às posições horizontal/vertical do cursor na janela. Tendo em conta a figura abaixo, supondo que a câmara encontra-se no ponto P e que o seu ponto de referência esteja em R, a direção do movimento da câmara é calculada segundo os ângulos α e β aplicados do vetor D.

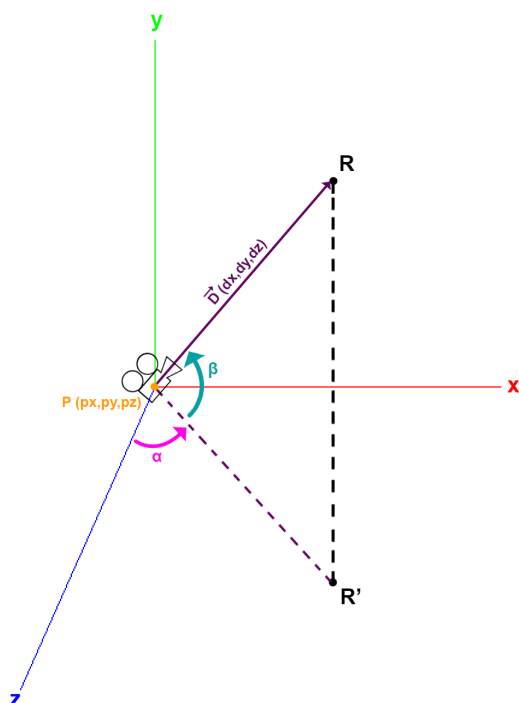


Figura 5: *Disposição do ponto de referência relativamente à câmara*

A função *gluLookAt* permite definir vários parâmetros, dentro destes, dado o contexto, destacam-se:

- Posição da câmara
- Posição do ponto de referência do ponto focado pela câmara
- Direção do vector up

A posição da câmara é dada pelas coordenadas de P (px, py, pz) enquanto que as coordenadas de R (ponto de referência) são obtidas segundo a direção do vetor D. Sendo assim, a função *gluLookAt* receberá os seguintes parâmetros:

```
gluLookAt(px, py, pz,
          px + dx, py + dy, pz + dz,
          0.0f, 1.0f, 0.0f)
```


Os valores iniciais das coordenadas P e D foram definidos, respetivamente, da seguinte forma:

```
float px = 0.0;
float py = 0.0;
float pz = 20.0;
float dx = 0.0;
float dy = 0.0;
float dz = -1;
```

Tendo em conta a figura 5 assim como os ângulos α e β conclui-se que as coordenadas do vetor D são dadas por :

$$\begin{aligned} dx &= \sin(\alpha), \alpha = [0, 2\pi] \\ dy &= -\cos(\alpha), \alpha = [0, 2\pi] \\ dz &= \sin(\beta), \beta = [-\frac{\pi}{2}, \frac{\pi}{2}] \end{aligned}$$

De realçar que dy é simétrico de $\cos(\alpha)$ de forma a permitir o movimento a coincidir com o sentido desejado. Como foi referido anteriormente, o vetor D indica apenas a direção do movimento da câmara porém também deve ser possível a esta aproximar/afastar dos objectos. Sendo assim e como D é um vetor unitário, para deslocar a câmara k unidades segue-se a fórmula indicada abaixo.

$$\mathbf{P}' = \mathbf{P} + k \times \mathbf{D}$$

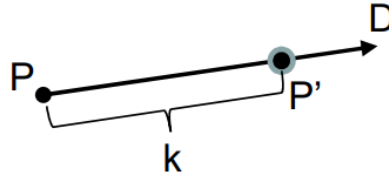


Figura 6: Deslocação da câmara k unidades segundo \underline{D}

Tendo isto em conta, a nova posição de P será dada por:

$$\begin{aligned} px &= px + dx \times k \\ py &= py + dy \times k \\ pz &= pz + dz \times k \end{aligned}$$

Com as fórmulas apresentadas acima é possível mover a camara em qualquer direção de acordo com o vetor D. Porém o grupo optou por adicionar a possibilidade de movimento perpendicular da câmara numa dada direção. Isto permitirá mover a câmara para a esquerda/direita relativamente ao ponto de referência.

Posteriormente foram criadas mais duas variáveis (dxP e dzP) que representam as coordenadas do movimento perpendicular. Estas coordenadas e as novas coordenadas px e py são dadas por :

$$\begin{aligned}
\mathbf{dxP} &= \sin(\alpha + \frac{\pi}{2}) \\
\mathbf{dzP} &= -\cos(\alpha + \frac{\pi}{2}) \\
\mathbf{py} &= \text{py} + \mathbf{dxP} \times k \\
\mathbf{pz} &= \text{pz} + \mathbf{dzP} \times k
\end{aligned}$$

3.2.4 Teclado

A função *gluLookAt* possibilita o movimento da câmara sendo que a posição da câmara e do ponto de referência baseiam-se no valor das variáveis globais correspondentes às coordenadas do ponto P (px,py,pz) e do vector D(dx,dy,dz). Para alterar a posição da câmara usam-se as teclas W que movimenta k(=1) unidades de acordo com o vector D e S movimenta a câmara k unidades na direção contrária. Como foi referido, disponibilizou-se a opção de movimento perpendicular à direção de D, que é feito com as teclas A e D. À semelhança da fase anterior, é permitido afastar ou aproximar de um ponto sendo que a tecla + serve para aproximar enquanto que a tecla - serve para distanciar. Também foram adicionadas as funcionalidades de ativar/desativar os eixos ao premir a tecla F e ver as figuras geométricas desenhadas por linhas apenas, sendo que para isso basta premir a tecla L.

A função *process_keys* trata da interação do teclado sendo que posteriormente esta função é passada como argumento à função *glutKeyboardFunc*.

3.2.5 Rato

O rato também será utilizado na movimentação da câmara nomeadamente para alterar o vector D. O direcionamento horizontal diz respeito ao ângulo α enquanto que o direcionamento vertical diz respeito ao ângulo β .

Supondo que a origem da janela coincide com o seu centro, ao efetuar-se a comparação entre o posicionamento do cursor com os valores de α e β , obteve-se:

- $x \in [\frac{-width}{2}, \frac{width}{2}]$
- $y \in [\frac{-height}{2}, \frac{height}{2}]$

Assim sendo pode-se assumir que à medida x aumenta/diminui na janela α também aumenta/diminui na mesma proporção. O mesmo acontece com y e β sendo que sempre que y aumenta/diminui na janela β irá fazer o mesmo em igual proporção.

Posto isto, concluiu-se que as frações dos ângulos α e β são dadas por :

$$\begin{aligned}
\mathbf{aStep} &= \frac{x}{width} \\
\mathbf{bStep} &= \frac{y}{height}
\end{aligned}$$

No entanto como $\alpha \in [0, 2\pi]$ e $\beta \in [\frac{-\pi}{2}, \frac{\pi}{2}]$ temos que :

$$\begin{aligned}
\alpha &= \mathbf{aStep} \times 2\pi \\
\beta &= \mathbf{bStep} \times \pi
\end{aligned}$$

A função *mouseMove* irá ser responsável por lidar com o movimento do rato, sendo que esta é invocada nas funções *glutMotionFunc* e *glutPassiveMotionFunc* do *GLUT*.

De modo a não interferir com a principal função do rato, a funcionalidade de alterar a câmara só será disponibilizada quando o botão esquerdo estiver premido. Isto conseguiu-se recorrendo a uma variável global *clicked* que indica se o botão está premido. Esta funcionalidade é implementada na função *mouseClick* que posteriormente é passada como argumento à função do *GLUT* *glutMouseFunc*.

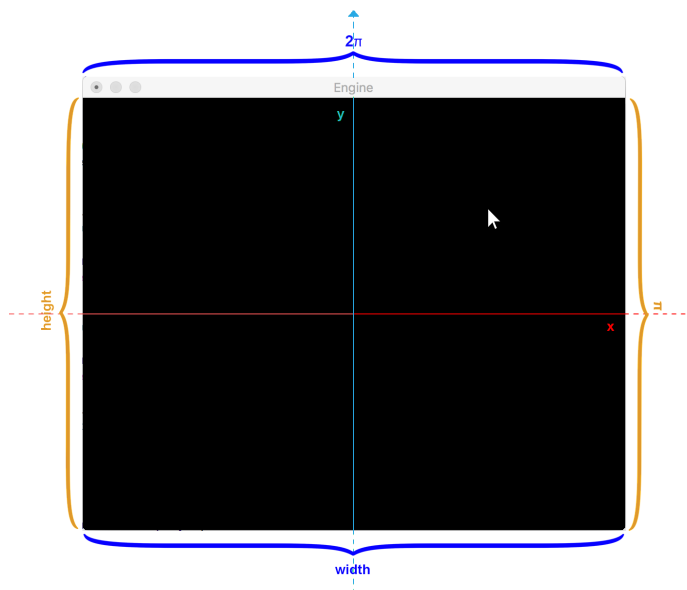


Figura 7: *Sistema de coordenadas da janela*

3.3 Modelo do Sistema Solar

No modelo do sistema solar, descrito no ficheiro XML, serão representados o Sol, os 8 planetas (Mercúrio, Vênus, Terra, Marte, Júpiter, Saturno, Urano e Neptuno) e os maiores satélites de cada planeta (que possuam satélites). De forma a tornar o modelo mais realista, será representado os anéis de saturno. Para esta tarefa foram utilizadas as primitivas da esfera e do anel.

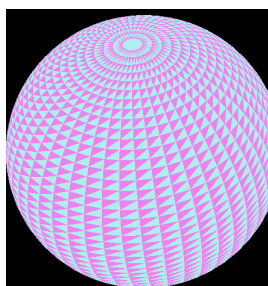


Figura 8: Esfera com raio 1, 50 slices e 50 stacks

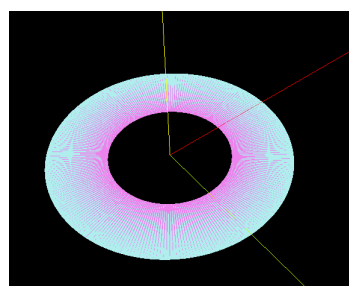


Figura 9: Anel com raio interior 1, raio exterior 2 e 50 slices

Visto que as primitivas tem uma dimensão e posição fixas, é necessário recorrer a transformações, ou seja, escalas, rotações e translações, de modo a desenhar as figuras o mais semelhante à realidade. Como existe uma discrepância entre as dimensões reais dos diferentes elementos do sistema não foi possível utilizar uma escala completamente de acordo com o modelo real, mas sim aproximações de modo a ter um sistema o mais parecido com a realidade. Ao desenvolver o modelo tivemos de ter atenção ao facto de um subgrupo herdar todas as transformações do grupo que está inserido.

- o translate de um grupo seja somado ao translate do subgrupo;
- o scale de um grupo multiplique o valor do scale do subgrupo;
- o valor do rotate do grupo seja somado ao rotate do subgrupo.

Para começar vamos definir o valor de rotação de cada planeta e de cada satélite de acordo com o eixo de rotação e da rotação orbital. Para isso aplicamos um rotate sobre o eixo dos Z com o valor do ângulo de inclinação. Como este ângulo é positivo para o lado esquerdo, é necessário aplicar o valor negativo ao ângulo para que a inclinação seja para o lado direito. Como os satélites herdam as transformações dos seus planetas é necessário anular estas rotações de forma a ter o ângulo correto.

Nome	Inclinação (graus)	<i>Rotate</i>
Mercúrio	0.1	-0.1
Vénus	177	-177
Terra	23.5	-23.5
Lua	5.15	18.35
Marte	25	-25
Fobos	1	24
Júpiter	3	-3
Ganimedes	0.2	2.8
Saturno	27	-27
Titã	0.33	26.67
Urano	98	-98
Titânia	0.14	97.86
Neptuno	30	-30
Tritão	157.35	-127.35

Tabela 1: Rotações utilizadas para cada Planeta e Satélite do modelo do sistema Solar.

De seguida, definimos a dimensão de cada Planeta e Satélite. Inicialmente estabelecemos uma escala de 200 que representa a distancia entre o Sol e o planeta mais distante(Neptuno), no entanto, como o valor era muito pequeno multiplicamos esse mesmo valor por 2000. Apesar de termos feito essa multiplicação existiam planetas ou satélites que ou continuavam muito pequenos ou demasiado grandes, como por exemplo, o Fobos e o Sol, nesses casos fizemos alguns ajustes.

Tipo	Nome	Raio (km)	Escala	Escala*2000	Scale
Estrela	Sol	69 600 000	3.10165	6203	8
Planeta	Mercúrio	2 440	0.000109	0.218	0.218
Planeta	Vénus	6 052	0.00027	0.54	0.54
Planeta	Terra	6371	0.000284	0.568	0.568
Satélite	Lua	1 737	0.000077	0.154	0.4
Planeta	Marte	3 390	0.000151	0.302	0.302
Satélite	Fobos	11.1	0.000000494	0.00099	0.5
Planeta	Júpiter	69 911	0.0031	6.2	2.2
Satélite	Ganimesdes	2 634	0.000117	0.234	0.2
Planeta	Saturno	58 232	0.002595	5.19	2
Satélite	Titã	2 575	0.000115	0.23	0.12
Planeta	Urano	25 362	0.00113	2.26	1.2
Satélite	Titânia	789	0.000035	0.07	0.15
Planeta	Neptuno	24 622	0.001097	2.194	1.1
Satélite	Tritão	1 353	0.00006	0.12	0.2

Tabela 1: Escalas utilizadas para cada Estrela, Planeta e Satélite do modelo do sistema Solar, tendo em conta o seu raio.

Inicialmente para os valores das distâncias entre os Planetas e o Sol utilizamos a escala descrita em cima, no entanto, devido a estas distancias serem demasiado grandes e não conseguirmos visualizar bem o modelo a escala foi reduzida para 75(Distancia ente o Sol e neptuno). Para a distancia entre os Satélites e os Planetas foi necessario aumentar a distancia entre eles de maneira a tornar os Satélites perceptíveis. Como estes herdam a translação do eixo dos X apenas foi necessario adicionar uma translação no eixo dos Y, essa translação tinha como consideração a distancia entre o Satélite e o Planeta mas como referido em cima foi necessário aumentar essa escala.

Nome	Distância(km)	Escala	Translate
Sol	-	-	-
Mercúrio-Sol	56 847 190	1.265	X=1.265
Vénus-Sol	107 710 466	2.4	X= 2.4
Terra-Sol	149 597 870	4.2	X= 4.2
Lua-Terra	394 400	2	Y=2
Marte-Sol	227 388 763	6.065	X= 6.065
Fobos-Marte	9 380	1.85	Y=1.85
Júpiter-Sol	777 908 927	17.335	X= 17.335
Ganimesdes-Júpiter	1 070 400	2.43	Y=2.43
Saturno-Sol	1 421 179 771	31.65	X=31.65
Titã-Saturno	1 221 870	3.84	Y=3.84
Urano-Sol	2 872 279 117	50.995	X= 50.995
Titânia-Urano	436 300	2.28	Y=-2.28
Neptuno-Sol	4 487 936 121	75	X= 75
Tritão-Neptuno	354 800	2.23	Y=-2.23

Tabela 3: Translações utilizadas para cada Planeta e Satélite do modelo do sistema solar, tendo em conta as distâncias entre o Sol.

Finalmente, para o anel de Saturno, como este está no grupo do planeta vai herdar a translação do mesmo e vai estar centrado. Sendo assim, é apenas necessário aplicar uma scale de modo a que este permaneça ligeiramente afastado de Saturno. Para este valor da escala aplicada ao anel foi também preciso ter em

atenção o valor da escala aplicada ao planeta.

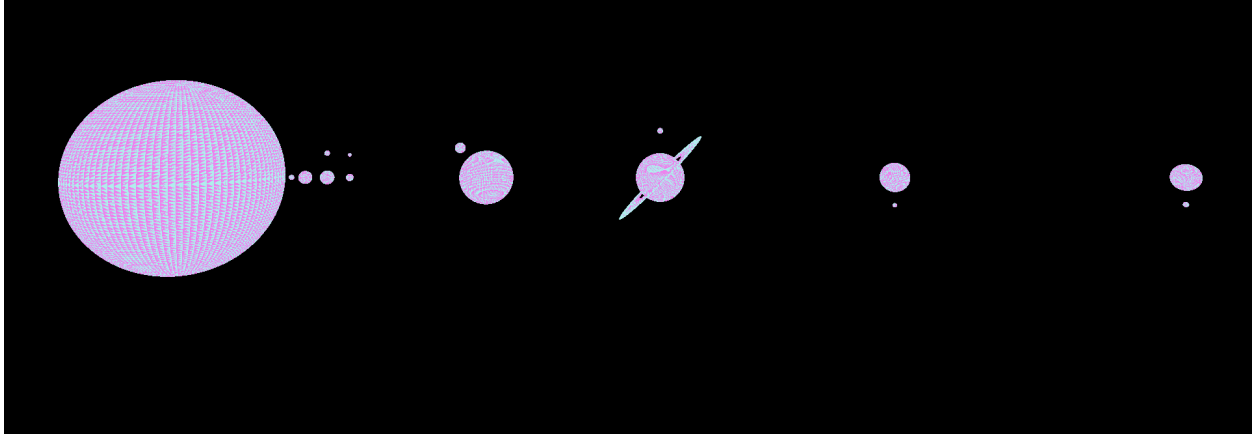


Tabela 1: Representação do Sistema Solar.

4 Conclusões

De uma forma geral, o grupo considerou a realização desta segunda fase do projecto satisfatória, pois foram cumpridos todos os pré-requisitos necessários.

Nesta fase conseguiu-se realizar as modificações necessárias ao Motor para este processar as várias transformações geográficas pretendidas (translações, escalas e rotações), estas descritas num ficheiro de configuração em XML.

Foi desenhado um modelo estático do Sistema Solar como pretendido e, para uma navegação e análise dos resultados obtidos ao longo do projecto, foi desenvolvida a possibilidade da utilização do rato para orientação no modelo. Ainda na primeira fase do projecto, foi necessária a utilização de caminhos absolutos para a leitura do ficheiro *Config.xml*, entretanto que foi ultrapassado sendo que agora é possível utilizar caminhos relativos.

Resumindo, a realização desta segunda fase será imprescindível para o contínuo desenvolvimento deste projecto.